

# Импульс-предвестник и частотная модуляция квазирезонансных импульсов самоиндуцированной прозрачности при наличии процессов необратимой релаксации

А.Л.Вершинин, А.Е.Дмитриев, О.М.Паршков

*Проведено численное моделирование квазирезонансного взаимодействия лазерного импульса с неоднородно уширенным квантовым переходом при условиях, соответствующих эксперименту по изучению явления самоиндуцированной прозрачности в парах рубидия. Показано, что наблюдаемое на опыте смещение спектра импульса обусловлено начальной стадией образования импульса-предвестника и влиянием процессов необратимой релаксации. Установлено, что импульс-предвестник более устойчив по отношению к разрушающему действию релаксации, чем 2π-импульс, и возникает даже в том случае, когда площадь входного импульса недостаточна для образования 2π-импульса.*

**Ключевые слова:** самоиндуцированная прозрачность, квазирезонанс, частотная модуляция, релаксационные процессы.

## 1. Введение

Открытие явления самоиндуцированной прозрачности (СИП) [1] стимулировало теоретические и экспериментальные исследования резонансного когерентного взаимодействия света с ансамблем двухуровневых квантовых объектов [2–4]. Изучение СИП в квазирезонансном случае, когда центральная частота входного импульса отличается от центральной частоты неоднородно уширенного квантового перехода, потребовало учета возможности частотной модуляции светового сигнала. Теория, развитая в работах [5–10], показала, что если площадь входного импульса превышает  $\pi$ , то, как и при строгом резонансе, в пределах больших расстояний происходит формирование одного или нескольких оптических солитонов, называемых 2π-импульсами. Оптические солитоны лишены частотной модуляции, однако в процессе их образования имеет место сдвиг центральной частоты излучения от центральной частоты квантового перехода. Кроме того, численный эксперимент [8] показал, что в процессе формирования одиночного 2π-импульса из входного импульса с площадью, лежащей в интервале  $\pi - 2\pi$ , возникает дополнительный импульс, названный авторами [8] импульсом-предвестником. Предвестник распространяется быстрее 2π-импульса, обладает значительной частотной модуляцией и исчезает в пределе бесконечных расстояний. Предвестник наблюдался в эксперименте [11], но его частотная модуляция не измерялась.

В эксперименте [12], признанном наиболее адекватным подтверждением теории СИП, было проведено измерение описанного выше сдвига центральной частоты спектра импульса от центральной частоты квантового перехода. Цель настоящей работы – показать, что данный частотный сдвиг обусловлен, с одной стороны, об-

разованием частотно-модулированного импульса-предвестника, а с другой – разрушением СИП процессами необратимой релаксации.

## 2. Исходные уравнения

В эксперименте [12] излучение ртутного лазера воздействовало на пары  $^{87}\text{Rb}$ , находящиеся в постоянном магнитном поле, вектор напряженности которого был направлен вдоль распространения светового импульса. Эффект Зеемана создавал резонансный лазерному излучению квантовый переход с невырожденными уровнями энергии. Нижний уровень этого перехода являлся основным и отвечал состоянию  $5s^2 S_{1/2} (M_J = -1/2, M_I = 3/2)$ , а верхний – состоянию  $5p^2 P_{1/2} (M_J = 1/2, M_I = 3/2)$ , где  $M_J$  и  $M_I$  – квантовые числа проекций полных электронного и ядерного угловых моментов на направление постоянного магнитного поля. Обозначим данные уровни цифрами 1 и 2 соответственно. Между этими уровнями располагался уровень  $5s^2 S_{1/2} (M_J = 1/2, M_I = 3/2)$ , обозначаемый далее цифрой 3. В условиях рассматриваемого эксперимента процессы необратимой релаксации проявлялись только в виде спонтанных излучательных переходов атомов с уровня 2 на лежащие ниже уровни 3 и 1.

Выберем правый ортонормированный базис  $\mathbf{ijk}$  лабораторной системы координат  $xuz$  так, чтобы вектор  $\mathbf{k}$  располагался вдоль направления распространения лазерного импульса. Введем следующие обозначения:

$$p = \frac{1}{\sqrt{2}}(p_{x12} - ip_{y12}),$$

где  $p_{x12}$  и  $p_{y12}$  –  $x$ - и  $y$ -компоненты вектора электродипольного момента перехода 1–2;  $\omega_{21}^0$  – центральная частота неоднородно уширенной линии этого перехода;  $T$  – характерное время, определяющее плотность распределения частот  $\omega_{21}$  переходов 1–2 отдельных атомов согласно формуле

$$g(\omega_{21}) = \frac{T}{\sqrt{\pi}} \exp[-T^2(\omega_{21} - \omega_{21}^0)^2];$$

А.Л.Вершинин, А.Е.Дмитриев, О.М.Паршков. Саратовский государственный технический университет, Россия, 410054 Саратов, ул. Политехническая, 77

$T_{21}$  и  $T_{23}$  – времена жизни уровня 2 относительно спонтанных переходов на уровни 1 и 3 соответственно;  $T'_{21}$  – время поперечной релаксации перехода 1–2.

Напряженность поляризованного по кругу электрического поля, используемого в эксперименте [11], представим в виде

$$E = \mu(\mathbf{i} + \mathbf{j})a(z, t) \exp \left[ i\omega \left( \frac{z}{c} - t \right) \right] + \text{компл. сопр.}, \quad (1)$$

где  $\mu = \hbar/(2^{3/2}T|p|)$ ;  $a(z, t)$  и  $\omega$  – комплексная огибающая и несущая частота лазерного импульса соответственно. Ввиду некоторой произвольности выбора частоты  $\omega$  мы для определенности полагаем ее равной несущей частоте входного лазерного излучения.

Введем безразмерные независимые переменные

$$s = \alpha Tz, \quad w = \frac{t}{T} - \frac{s}{\beta}, \quad (2)$$

где

$$\alpha = \frac{2\pi\omega|p|^2N}{c\hbar}; \quad \beta = \alpha T^2c;$$

$N$  – суммарная концентрация атомов на уровнях 1 и 2 до прихода лазерного импульса. Введем также величины  $\sigma_{ik}$  ( $i, k = 1, 2$ ):

$$\sigma_{21} = \sigma_{12}^* = \frac{2p}{|p|} \rho_{21} \exp \left[ i\omega \left( t - \frac{z}{c} \right) \right], \quad \sigma_{ii} = \rho_{ii},$$

где  $\rho_{ik}$  – элементы матрицы плотности в представлении Шредингера для двухуровневой квантовой системы, моделирующей атом  $^{87}\text{Rb}$ . Используя первое приближение процедуры усреднения уравнений матрицы плотности [13] и укороченные уравнения Максвелла в первом приближении [14] теории дисперсии, получаем систему уравнений, описывающих взаимодействие импульса со средой:

$$\begin{aligned} \frac{\partial a}{\partial s} &= \frac{i}{\sqrt{\pi}} \int_{-\infty}^{\infty} \sigma_{21} \exp[-(\varepsilon - \varepsilon_0)^2] d\varepsilon, \\ \frac{\partial \sigma_{21}}{\partial w} + i\varepsilon \sigma_{21} &= ia(\sigma_{11} - \sigma_{22}) - \gamma \sigma_{21}, \\ \frac{\partial \sigma_{22}}{\partial w} &= -\frac{1}{2} \text{Im}(a\sigma_{21}^*) - \delta \sigma_{22}, \\ \frac{\partial \sigma_{11}}{\partial w} &= \frac{1}{2} \text{Im}(a\sigma_{21}^*). \end{aligned} \quad (3)$$

В (3) использованы следующие обозначения:

$$\begin{aligned} \varepsilon_0 &= T(\omega_{21}^0 - \omega), \quad \varepsilon = T(\omega_{21} - \omega), \\ \gamma &= \frac{T}{T'_{21}}, \quad \delta = T(T_{23}^{-1} + T_{21}^{-1}), \end{aligned} \quad (4)$$

причем параметр  $\varepsilon_0$  характеризует степень отклонения несущей частоты входного лазерного излучения от центральной частоты квантового перехода. Слагаемые  $-\gamma\sigma_{21}$  и  $-\delta\sigma_{22}$  во втором и третьем уравнениях системы (3) введены для учета спонтанных переходов атомов с уровня 2 на уровни 1 и 3. Присутствие этих слагаемых отличает систему (3) от системы уравнений, численное решение

которой предсказало возможность образования импульса-предвестника [8]. С другой стороны, теория, основанная на системе (3) и представлении поля в виде (1), в отличие от теории работы [12], дает возможность учесть наводимую средой частотную модуляцию лазерного импульса.

Система (3) дополнялась граничным ( $s = 0$ ) условием

$$a(s = 0, w) = a_0(w) \quad (w \geq 0), \quad (5)$$

где  $a_0(w)$  – огибающая входного лазерного импульса. В качестве начальных условий ( $w = 0$ ) рассматривались соотношения

$$\begin{aligned} \sigma_{12}(s, w = 0) &= 0, \quad \sigma_{11}(s, w = 0) = 1, \\ \sigma_{22}(s, w = 0) &= 0 \quad (s \geq 0), \end{aligned} \quad (6)$$

соответствующие невозбужденному состоянию среды до прихода импульса излучения.

Краевая задача (3), (5), (6) решалась численно с помощью программы, представленной в работе [15]. Результаты расчета по этой программе хорошо согласуются с аналитическими выводами теории СИП [1] и теории нестационарного двойного резонанса [16]. Рассматриваемая задача при  $\gamma = \delta = 0$  эквивалентна хорошо изученной задаче, описывающей СИП. Сопровождая каждый расчет, в котором  $\gamma$  и  $\delta$  отличны от нуля, расчетом при  $\gamma = \delta = 0$ , мы имеем возможность тестировать полученные результаты путем сравнения их с аналитическими результатами теории СИП.

### 3. Параметры среды и характеристики входного импульса

Используя данные, приведенные в работе [12], мы выбрали для расчетов следующие значения параметров резонансного квантового перехода:  $|p| = 6.16$  ед. СГСЭ,  $\omega_{21}^0 = 2.37 \times 10^{15} \text{ c}^{-1}$ ,  $T_{21} = 42 \text{ нс}$ ,  $T_{23} = 84 \text{ нс}$ ,  $T'_{21} = 56 \text{ нс}$ . Ширина по полувысоте доплеровского контура перехода 1–2, равная 550 МГц, дает  $T = 0.48 \text{ нс}$ . С помощью (4) находим, что  $\gamma = 8.6 \times 10^{-3}$ ,  $\delta = 1.7 \times 10^{-2}$ .

Для граничных условий (5) полагаем

$$a_0(w) = h \left[ \exp\left(\frac{w - w_0}{\tau}\right) + \exp\left(-3 \frac{w - w_0}{\tau}\right) \right]^{-1}. \quad (7)$$

Безразмерные параметры  $h$ ,  $\tau$  и  $w_0$  в (7) определяют высоту, длительность и положение на оси  $w$  входного лазерного импульса. Импульс (7) имеет несимметричную форму (близкую к форме импульсов, полученных в эксперименте [12]) с большей крутизной переднего фронта, чем заднего. Подбор параметра  $h$  позволяет обеспечить нужное значение площади входного импульса. При изменении параметра  $\tau$  от 10 до 20 ширина по полувысоте функции  $|a_0(w = t/T)|^2$ , описывающей интенсивность лазерного импульса, лежит в пределах 5–10 нс. Входные импульсы такой длительности использовались в эксперименте [12].

Значения ряда параметров выбирались из разд. IV.8.2 работы [12], где приводятся результаты эксперимента в квазирезонансном случае. Например, при  $(\omega - \omega_{21}^0)/2\pi = 0.7 \text{ ГГц}$  из (4) получаем  $\varepsilon_0 = -2.1$ . Согласно данным этого раздела, оценка величины  $\alpha'L$  (где  $\alpha'$  – коэффициент линейного поглощения на лазерной частоте,  $L$  – длина

кюветы с парами рубидия) оказалась порядка 7. В то же время максимальная концентрация атомов  $^{87}\text{Rb}$  составляла примерно  $10^{13} \text{ см}^{-3}$ , тогда как максимальное  $L$  равнялось 10 мм. Используя первую из формул (2), можно сделать вывод, что соответствующее эксперименту безразмерное расстояние  $s$  приблизительно равно 100.

#### 4. Способ представления результатов расчета

Результаты расчета приводятся в виде функций  $A_s(w)$ ,  $\varphi_s(w)$ ,  $w_m(s)$  и  $\Theta(s)$ , где

$$A_s(w) = |a(w, s = \text{const})|, \quad \varphi_s(w) = \arg a(w, s = \text{const})$$

– действительная огибающая импульса и фазовая добавка к нему при фиксированном значении  $s$ ;  $w_m(s)$  – зависимость от  $s$  значения  $w$ , при котором огибающая  $A_s(w)$  достигает максимального значения  $A_{sm}$ ;

$$\Theta(s) = \int_{-\infty}^{\infty} A_s(w) dw$$

– зависимость от  $s$  площади под действительной огибающей. При этом величина  $\Theta(0)$  является площадью под действительной огибающей входного лазерного импульса. Длительности импульсов характеризуются безразмерными величинами  $\tau_1$  и  $\tau_2$ , определяемыми как расстояния по оси  $w$  между точками, в которых функция  $A_s(w) = 0.5A_{sm}$  и  $\text{sech}(1)A_{sm}$  соответственно. В случае, когда деформация импульса при распространении незначительна, вводится в рассмотрение его скорость  $v$  в системе координат  $w, s$ , задаваемая формулой  $v = (dw_m/ds)^{-1}$ . Для  $2\pi$ -импульса величины  $\tau_2$ ,  $A_{sm}$  и  $v$  связаны соотношением

$$A_{sm} = \frac{4}{\tau_2}, \quad v = \sqrt{\pi} \left\{ \tau_2^2 \int_{-\infty}^{\infty} \frac{\exp[-(\varepsilon - \varepsilon_0)^2]}{4 + \tau_2^2 \varepsilon^2} d\varepsilon \right\}^{-1}. \quad (8)$$

Эти соотношения применяются далее для обнаружения  $2\pi$ -импульса в результатах численного эксперимента. Символ  $\Delta t$  обозначает ниже размерную длительность импульса, используемую в работе [12] и определяемую как промежуток времени между точками, в которых функция  $A_s^2(w = t/T)$  достигает половины своего максимального значения.

Зависящий от  $s$  сдвиг  $\Delta\nu$  центра спектра импульса относительно несущей частоты  $\nu = \omega/2\pi$  входного излучения определяется формулой

$$\Delta\nu = \frac{1}{2\pi T} \int_{-\infty}^{\infty} \Delta F_s(\Delta) d\Delta \Big/ \int_{-\infty}^{\infty} F_s(\Delta) d\Delta. \quad (9)$$

Здесь  $F_s(\Delta)$  – квадрат модуля фурье-образа функции  $E/(\mu T)$  в точке  $\omega - \Delta/T$  при фиксированном  $s$ . Если  $\varepsilon_0 \Delta\nu > 0$  ( $\varepsilon_0 \Delta\nu < 0$ ), то центральная частота спектра импульса смещена в направлении от резонанса (к резонансу) относительно несущей частоты входного лазерного импульса.

#### 5. Результаты расчетов

Положим в (7) параметры  $h = 0.223$ ,  $\tau = 14$ ,  $w_0 = 40$ , что соответствует входному импульсу с  $\Theta(0) = 1.1\pi$  и  $\Delta t = 7$  нс. Выбор  $\Theta(0)$  близким к  $\pi$  диктуется условиями эксперимента. На рис. 1, *a–в* представлены функции  $A_s(w)$  и  $\varphi_s(w)$  для  $s = 100, 240, 360$ . Значение  $s = 100$  (см. рис. 1, *a*), как отмечалось ранее, соответствует условиям эксперимента. При  $s = 100$  расчет дает  $\Delta t = 19.3$  нс, что почти втрое превышает длительность входного импульса, тогда как  $\Delta\nu = -12$  МГц (отрицательность  $\Delta\nu$  означает отталкивание центра спектра импульса от резонанса). Эти результаты находятся в хорошем согласии с экспериментальными данными разд. IV.8.2 работы [12]. На рис. 1, *б, в* приведены результаты расчетов на расстояниях, значительно превышающих экспериментальные.

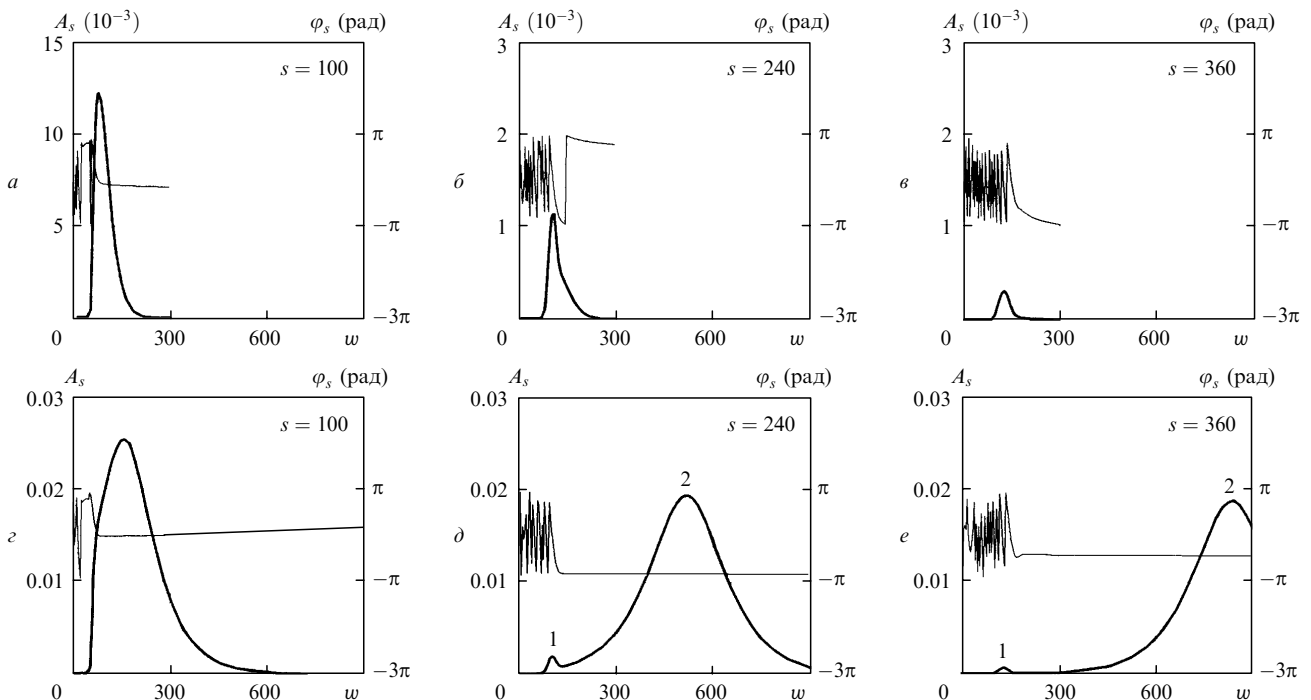


Рис. 1. Действительные огибающие  $A_s$  (толстые кривые) и фазовые добавки  $\varphi_s$  (тонкие кривые) для различных расстояний  $s$  при площади входного импульса  $1.1\pi$  в присутствии (*a–в*) и в отсутствие (*z–e*) релаксационных процессов.

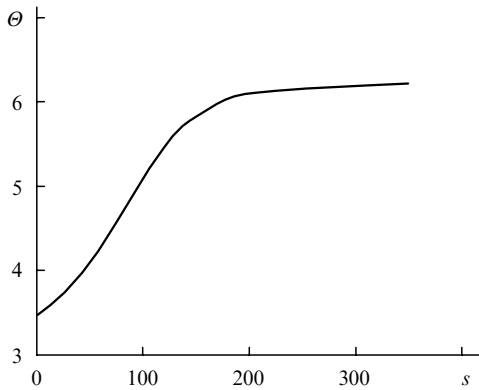


Рис.2. Зависимость площади  $\Theta$  под действительной огибающей от расстояния  $s$  при площади входного импульса 1.1π.

На рис.1,б–е приведены функции  $A_s(w)$  и  $\varphi_s(w)$  для тех же значений  $s$ , что и выше, но рассчитанные без учета релаксации ( $\gamma = \delta = 0$ ). Видно, что по мере распространения импульс распадается на два отдельных импульса, обозначенных в порядке следования во времени цифрами 1 и 2. Первый импульс значительно меньше второго и распространяется с большей скоростью. Зависимости  $\varphi_s(w)$  показывают, что в спектре первого импульса имеется частотная модуляция ( $d\varphi_s/dw \neq 0$ ), тогда как спектр второго ее не содержит. С ростом  $s$  форма и высота второго импульса практически не меняются. При  $s = 360$  для второго импульса  $\tau_2 = 212$ ,  $A_{sm} = 0.0187$ . На рис.2 и 3 представлены зависимости  $\Theta(s)$  и  $w_m(s)$ . Видно, что при больших  $s$  площадь  $\Theta(s)$  приближается к  $2\pi$ . Прямолинейность зависимости  $w_m(s)$  при  $s > 100$  означает постоянство скорости второго импульса, причем, судя по этой зависимости,  $v = 0.382$ . При подстановке приведенных выше значений  $\tau_2$ ,  $A_{sm}$  и  $v$  в (8) получаем приближенные равенства, выполняющиеся с относительной погрешностью 1%. Все это позволяет заключить, что второй импульс является  $2\pi$ -импульсом. Тогда согласно [8] первый импульс представляет собой импульс-предвестник. Для предвестника, как показал расчет,  $\Delta\nu \simeq -100$  МГц, но ввиду наличия немодулированного по частоте  $2\pi$ -импульса пуг двух импульсов имеет значительно меньший по модулю частотный сдвиг ( $\Delta\nu \simeq -90$  кГц для  $s = 240$ ). Предвестник, как и  $2\pi$ -импульс, имеет огибающую в форме симметричного колокола, но в отличие от  $2\pi$ -импульса он затухает по мере распространения даже в отсутствие релаксационных процессов.

Сравнивая рис.1,б,в с рис.1,д,е нетрудно заметить, что при учете релаксации для каждого фиксированного зна-

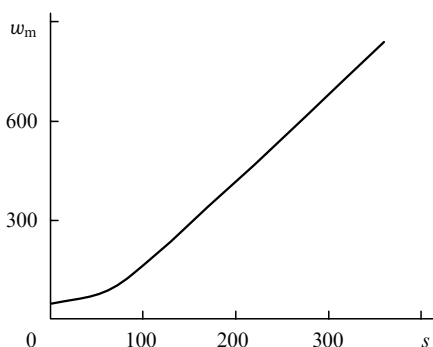


Рис.3. Зависимость временного положения  $w_m$  максимума действительной огибающей от расстояния  $s$  при площади входного импульса 1.1π.

чения  $s$  импульс располагается на оси  $w$  в том же самом месте, где для данного  $s$  находится импульс-предвестник в отсутствие релаксации. Например, при  $s = 360$  (рис.1,в и е) с погрешностью менее 2% абсциссы вершин этих импульсов и длительности  $\tau_1$  равны 130 и 40 соответственно. Для обоих импульсов  $\Delta\nu \simeq -100$  МГц. Все это позволяет сделать вывод о том, что на больших расстояниях процессы релаксации подавляют тенденцию формирования  $2\pi$ -импульса, но допускают образование импульса-предвестника.

На расстоянии  $s \simeq 100$ , соответствующем условию эксперимента [12], процесс превращения лазерного импульса в импульс-предвестник находится еще в начальной стадии. Об этом свидетельствует малый ( $|\Delta\nu| = 12$  МГц) сдвиг центральной частоты спектра импульса по сравнению с аналогичным сдвигом ( $|\Delta\nu| \simeq 100$  МГц) для предвестника. Сравнение показывает, что для фиксированного  $s$  импульс в присутствии релаксации примерно в два раза меньше импульса-предвестника в ее отсутствие. Это означает, что релаксационные процессы приводят к увеличению скорости затухания предвестника по мере его распространения.

Приведем результаты расчета в случае, когда в (7) параметры  $h = 0.181$ ,  $\tau = 14$ ,  $w_0 = 40$ , что соответствует  $\Theta(0) = 0.9\pi$  и  $\Delta t = 7$  нс. При таком  $\Theta(0)$ , как известно [1, 8],  $2\pi$ -импульс не образуется даже в отсутствие релаксации. Расчет при наличии релаксации и  $s = 100$  дал  $\Delta\nu = -17$  МГц, что находится в области экспериментально наблюдаемых значений [12]. На рис.4 представлены функции  $A_s(w)$  для  $s = 360$  при наличии и в отсутствие релаксации. Значения  $w_m(s)$ ,  $\Delta t$  и  $\Delta\nu$  для обоих импульсов практически одинаковы, причем  $\Delta\nu \simeq -100$  МГц. Положение данных импульсов на оси  $w$  такое же, как и у импульса-предвестника на рис.1,е. Отсюда следует, что импульс-предвестник возникает и при  $\Theta(0) < \pi$  и именно его образование ответственно за наблюдаемый на опыте частотный сдвиг. Отметим, что в работе [8] предвестник был обнаружен в расчете только при выполнении условия  $\pi < \Theta(0) < 2\pi$ .

Расчеты показали, что при уменьшении длительности  $\Delta t$  входного импульса его дальнейшая эволюция сохраняет описанные выше качественные особенности. Однако частотный сдвиг по абсолютной величине возрастает. Так, при  $\Theta(0) = 1.1\pi$  и  $\Delta t = 5$  нс на расстоянии  $s = 100$  имеем  $\Delta\nu = -20$  МГц. Увеличение площади входного импульса приводит к уменьшению  $|\Delta\nu|$ . Например, при  $\Theta(0) = 1.4\pi$  и  $\Delta t = 5$  нс для  $s = 100$  расчет дает  $\Delta\nu = -5.5$  МГц. Качественно уменьшение  $|\Delta\nu|$  объясняется тем, что

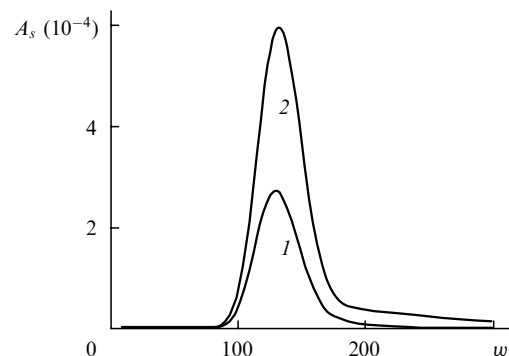


Рис.4. Зависимости от  $w$  действительной огибающей  $A_s$  на расстоянии  $s = 360$  при площади входного импульса  $0.9\pi$  в присутствии (1) и в отсутствие (2) релаксационных процессов.

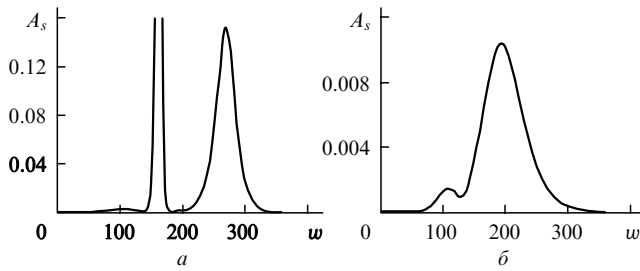


Рис.5. Зависимости от  $w$  действительной огибающей  $A_s$  на расстоянии  $s = 360$  при площади входного импульса  $3.5\pi$  в отсутствие (а) и в присутствии (б) релаксационных процессов.

с ростом  $\Theta(0)$  самоиндуцированная прозрачность не столь эффективно подавляется релаксационными процессами.

Отметим, что предвестник возникает в довольно широком диапазоне изменения  $\Theta(0)$ . На рис.5 приведены зависимости  $A_s(w)$  при  $s = 360$  для входного импульса с  $\Theta(0) = 3.5\pi$  и  $\Delta t = 5$  нс ( $h = 1.0$ ,  $\tau = 10$ ), полученные в расчетах без учета и с учетом релаксации. Первый от начала координат импульс на рис.5,а,б является импульсом-предвестником, для которого  $\Delta\nu \simeq -100$  МГц. Второй и третий импульсы на рис.5,а представляют собой  $2\pi$ -импульсы, причем вершина второго импульса лежит вне пределов изображения. Второй импульс на рис.5,б солитоном не является и затухает с ростом расстояния быстрее, чем импульс-предвестник.

## 6. Заключение

Результаты расчета показывают, что при квазирезонансном взаимодействии излучения с неоднородно уширенным квантовым переходом импульс-предвестник возникает при площади  $\Theta(0)$  входного лазерного импульса как большей, так и меньшей  $\pi$ . Отличительной чертой предвестника является значительная частотная модуляция, проявляющаяся как отталкивание центральной частоты его спектра от резонанса ( $\Delta\nu \simeq -100$  МГц). В отсутствие релаксации предвестник затухает из-за доплеровского разброса резонансных частот. При  $\Theta(0) < \pi$  на больших расстояниях предвестник содержит практически всю энергию излучения.

При  $\Theta(0) > \pi$  предвестник сопровождается одним или несколькими  $2\pi$ -импульсами. Поскольку  $2\pi$ -импульс в нашем случае намного больше предвестника и не модулирован по частоте, то  $|\Delta\nu|$  для цуга импульсов значительно

меньше, чем для предвестника. Наличие даже слабого влияния релаксационных процессов ( $\delta, \gamma \ll 1$ ) приводит в первую очередь к подавлению СИП. Предвестник, затухание которого хотя и несколько увеличивается, на больших расстояниях сосредотачивает в себе всю энергию излучения. На расстоянии, соответствующем эксперименту, описанному в разд. IV.8.2 работы [12], процесс превращения импульса в импульс-предвестник находится в начальной стадии. Поэтому  $\Delta\nu$  изменяется от  $-20$  до  $-10$  МГц, если  $\Theta(0)$  близко к  $\pi$ . При увеличении  $\Theta(0)$  величина  $|\Delta\nu|$  уменьшается из-за роста расстояния, на котором релаксация способна подавить СИП. Отметим, что полученные в наших расчетах импульсы-предвестники имеют симметричную колоколообразную форму, подобную наблюдаемой в эксперименте [11], тогда как в работе [8] расчет дал сложную многопиковую и несимметричную структуру огибающей предвестника.

Представленные результаты численных экспериментов ограничены единственным набором числовых значений параметров резонансной среды и малым разнообразием параметров входного лазерного импульса. В связи с этим представляет интерес зависимость эволюции лазерного импульса от степени нерезонансности входного излучения и его возможной частотной модуляции. Исследования в этом направлении будут продолжены в дальнейшем.

1. McCall S.L., Hahn E.L. *Phys. Rev. Lett.*, **13**, 908 (1967); *Phys. Rev.*, **183**, 457 (1969).
2. Крюков П.Г., Летохов В.С. *УФН*, **99**, 169 (1969).
3. Аллен Л., Эберли Дж. *Оптический резонанс и двухуровневые атомы* (М.: Мир, 1978).
4. Lamb G.L. Jr. *Rev. Mod. Phys.*, **43**, 99 (1971).
5. Diels J.C. *Phys. Lett. A*, **31**, 111 (1970).
6. Matulic L. *Opt. Commun.*, **2**, 249 (1970).
7. Matulic L., Eberly J.H. *Phys. Rev. A*, **6**, 322 (1972).
8. Diels J.C., Hahn E.L. *Phys. Rev. A*, **8**, 1084 (1973).
9. Deck R.T., Lamb G.L. Jr. *Phys. Rev. A*, **12**, 1503 (1975).
10. Каур D.J. *Phys. Rev. A*, **16**, 704 (1976).
11. Diels J.C., Hahn E.L. *Phys. Rev. A*, **10**, 2501 (1973).
12. Slusher R.E., Gibbs H.M. *Phys. Rev. A*, **5**, 1634 (1971).
13. Бутылкин В.С., Каплан А.Е., Хронопуло Ю.Г., Якубович Е.И. *Резонансные взаимодействия света с веществом* (М.: Наука, 1977, с. 22).
14. Ахманов С.А., Хохлов Р.В. *Проблемы нелинейной оптики. 1961–1963* (М.: Изд-во АН СССР, 1965).
15. Дмитриев А.Е., Вершинин А.Л., Паршков О.М., Писной А.Л. *Квантовая электроника*, **32**, 33 (2002).
16. Дмитриев А.Е., Паршков О.М. *Квантовая электроника*, **20**, 447 (1993).